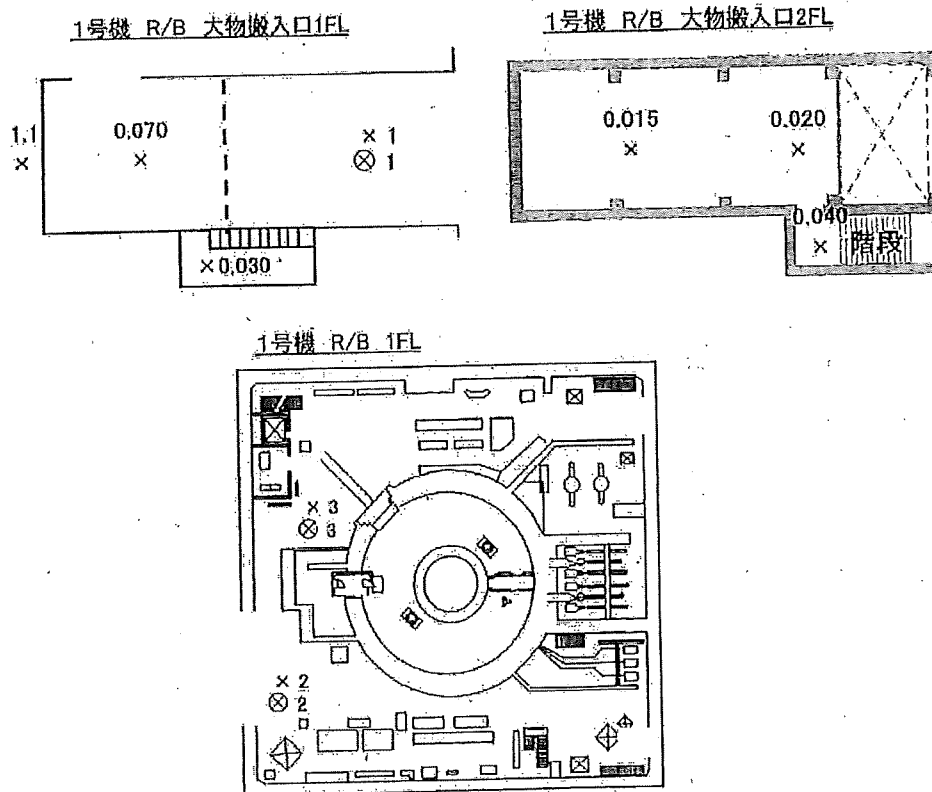


(3) 線量測定結果

(i) R/B1 階の測定結果

3 階南側へのアクセスルートとなる大物搬入口及び R/B 1 階の線量率の測定結果を図 4.2.3-21 に示す。



単位 : mSv/h

測定日	2020 年 9 月 1 日	
測定点	表面	at 1.0m
1	0.40	0.45
2	2.0	3.5
3	1.0	1.8

図 4.2.3-21 R/B 1 階の線量測定結果

(ii) R/B 北西階段の線量測定結果

3 階南側へのアクセスルートとなる北西階段の線量測定結果を図 4.2.3-22 に示す。

単位 : mSv/h

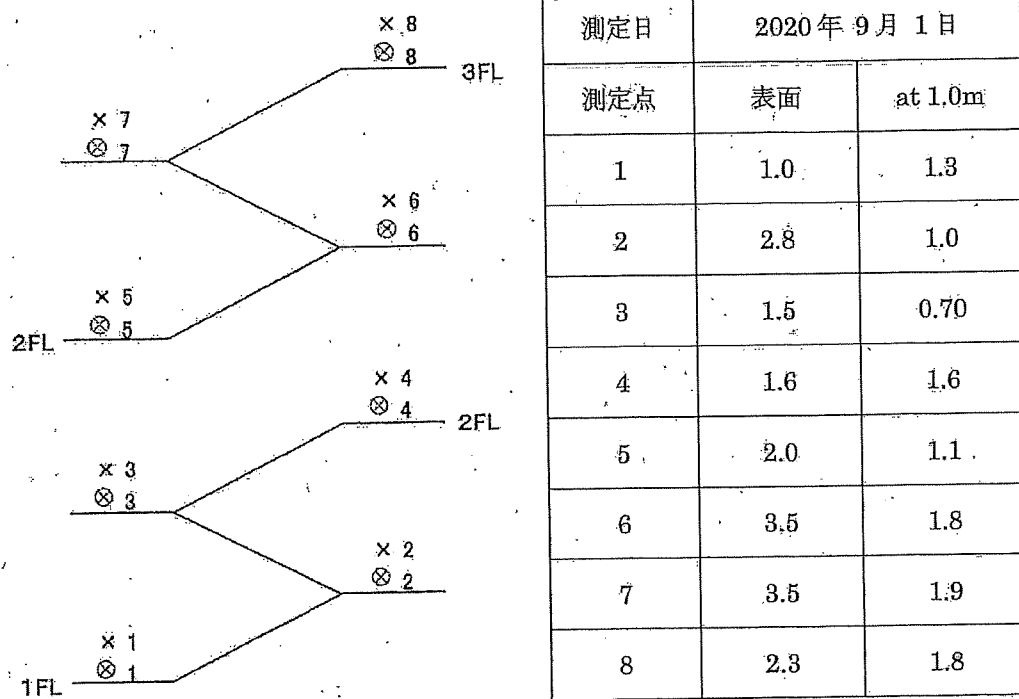


図 4.2.3-22 北西階段の線量測定結果

(Ⅲ) 機器ハッチ周辺の線量測定結果

機器ハッチ周辺にて実施した線量測定の実施ポイントを図 4.2.3-23、図 4.2.3-24 に示す。

測定ポイントは、4.2.3-23 に示すⅠからⅣの 4 箇所にて、3 階から 1m 毎に各 12 点ずつ線量測定を実施した。

表 4.2.3-1 に線量測定結果を示す。

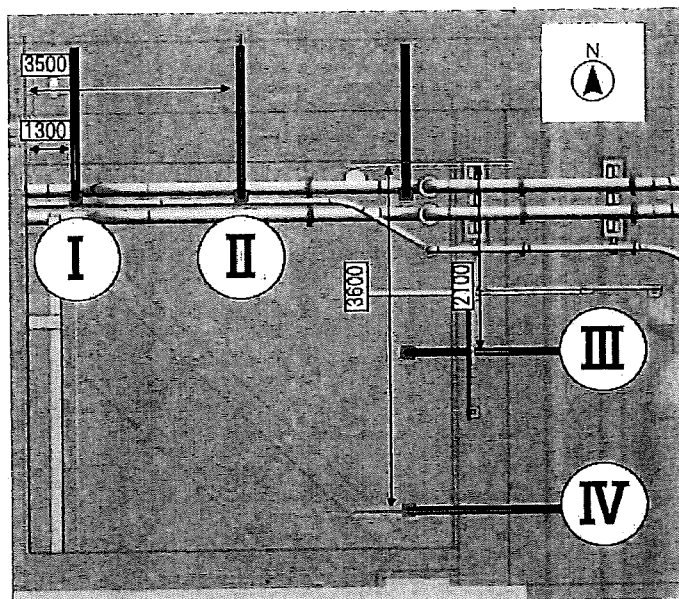


図 4.2.3-23 機器ハッチ周辺の線量測定ポイント (平面図)

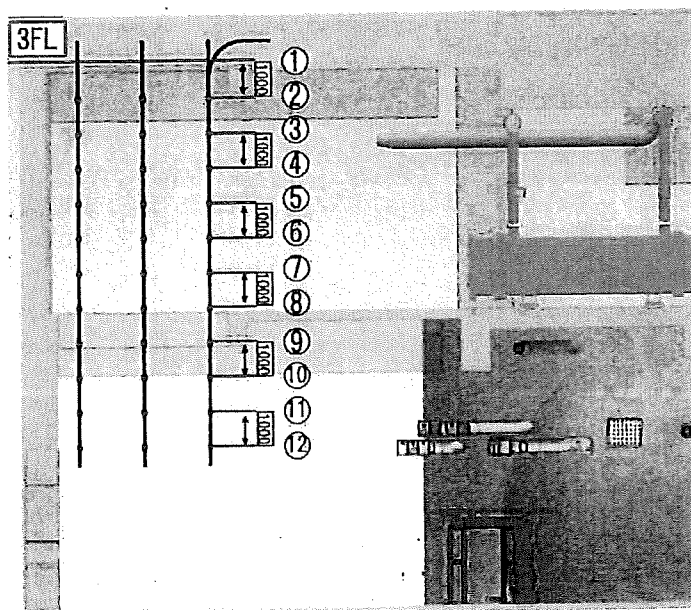


図 4.2.3-24 機器ハッチ周辺の線量測定ポイント (側面図)

表 4.2.3-1 機器ハッチ周辺の線量測定結果

単位：mSv/h

	測定点Ⅰ	測定点Ⅱ	測定点Ⅲ	測定点Ⅳ
測定日	2020.9.2	2020.9.2	2020.9.7	2020.9.7
①(OP25,900)	16	14	2.0	2.0
②(OP24,900)	20	30	40	34
③(OP23,900)	25	35	50	55
④(OP22,900)	27	40	62	70
⑤(OP21,900)	26	46	92	112
⑥(OP20,900)	26	40	110	110
⑦(OP19,900)	26	30	95	97
⑧(OP18,900)	18	16	65	82
⑨(OP17,900)	10	4.0	3.8	4.0
⑩(OP16,900)	5.8	3.8	3.2	3.6
⑪(OP15,900)	4.5	3.7	2.6	3.2
⑫(OP14,900)	4.1	3.7	2.9	3.5

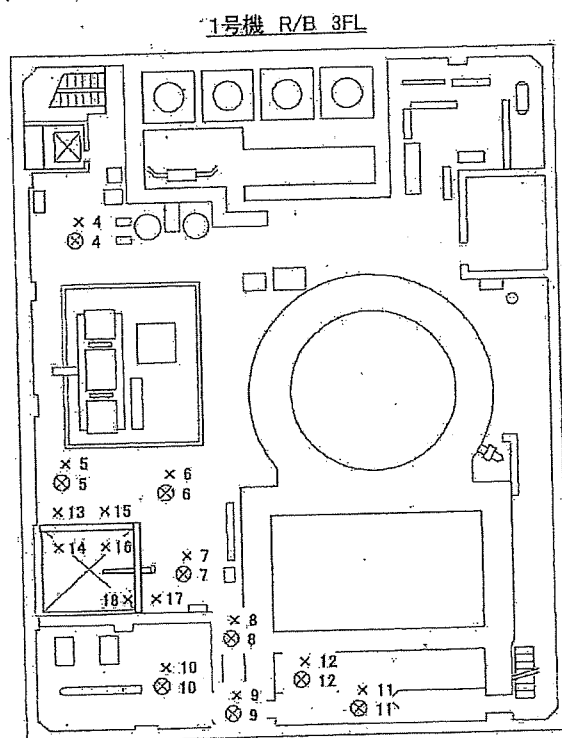
※RCW-Hx に近い機器ハッチ東側の測定点Ⅲ及びⅣにおいて、Hx 中心レベル(OP19,950)付近が高線量となっていることから、RCW-Hx が線源になっているものと推定される。

(iv) R/B 3 階の線量測定結果

R/B 3 階のうち、線量低減工事の作業エリアである南側エリアへのアクセスルート及び退避エリアとして活用する予定である FPC 熱交換器室の線量率の測定を実施した。

図 4.2.3-25 に、R/B 3 階の線量測定結果を示す。

単位 : mSv/h



測定日	2020.9.1	
測定点	表面	at 1.0m
4	8.0	4.5
5	1.0	1.4
6	1.0	1.5
7	2.4	1.2
8	1.4	2.2
9	4.0	3.0
10	3.0	2.0
11	2.0	2.0
12	3.5	2.0
13	—	6.0
14	—	10
15	—	4.0
16	—	6.0
17	—	2.5
18	—	3.0

図 4.2.3-25 R/B 3 階の線量測定結果

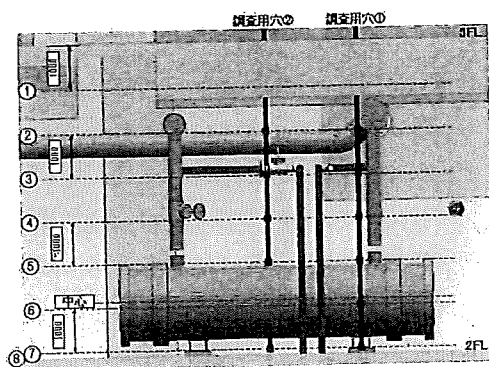
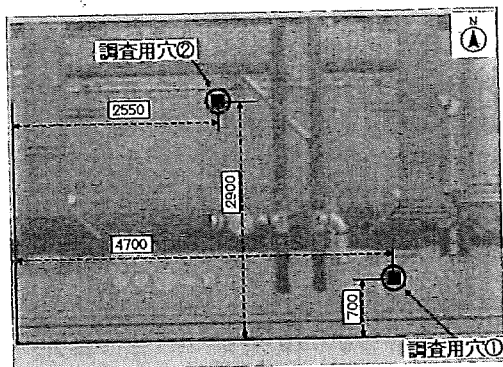
(v) RCW-Hx 周辺の線量測定結果

RCW-Hx 周辺の線量調査として、調査用穿孔部の下方 1m から 1m 間隔で 8 箇所及び RCW-Hx 中心(OP.19,950)の計 9 箇所を実施した。但し、測定点⑧は床面の配管上で測定を実施した。

図 4.2.3-26 に、RCW-Hx 周辺の線量測定結果を示す。

RCW-Hx 中心付近が高線量となっていることから、RCW-Hx が線源であることが推定される。

単位：mSv/h



調査穴	調査穴 ②	調査穴 ①
測定日	2020.9.4	2020.10.7
①(OP24,900)	47	9.7
②(OP23,900)	205	58
③(OP22,900)	410	103
④(OP21,900)	560	207
⑤(OP20,900)	790	380
RCW-Hx 中心 (OP19,950)	1150	550
⑥(OP19,900)	1040	490
⑦(OP18,900)	590	215
⑧(OP18,700)	320	225

図 4.2.3-26 RCW-Hx 周辺の線量測定結果